

本文引用:吕一帆,刘守青,张倩倩,等.奥氮平诱导雄性大鼠产生胰岛素抵抗的机制研究[J].新乡医学院学报,2019,36(12):1105-1109. DOI:10.7683/xxxyxb.2019.12.002.

【基础研究】

奥氮平诱导雄性大鼠产生胰岛素抵抗的机制研究

吕一帆¹, 刘守青¹, 张倩倩¹, 彭世勇¹, 杨 妮², 李士红², 黎维勇²

(1. 新乡医学院精神与神经医学研究院,河南 新乡 453000;2. 华中科技大学同济医学院附属协和医院药剂科,湖北 武汉 430022)

摘要: 目的 探讨奥氮平诱导雄性 Sprague Dawley (SD) 大鼠产生胰岛素抵抗的机制。方法 将 20 只雄性 SD 大鼠随机分为对照组和奥氮平组,每组 10 只;奥氮平组大鼠每日给予 $1.5 \text{ mg} \cdot \text{kg}^{-1}$ 奥氮平灌胃,对照组大鼠给予等量生理盐水灌胃,连续 8 周。于给药前及给药后第 1~8 周测 2 组大鼠空腹血糖 (FBG),并记录大鼠体质量。给药后 2、4、6、8 周取大鼠尾静脉血,采用酶联免疫吸附试验法 (ELISA) 检测血浆胰岛素水平,并计算胰岛素抵抗指数 (HOMA-IR);给药后第 8 周,行口服糖耐量实验 (OGTT);并于给药后第 8 周末取大鼠白色脂肪组织及大脑前额叶皮质,Western blot 法检测 2 组大鼠白色脂肪组织中早期生长反应因子-1 (Egr-1)、香叶基香叶基二磷酸合成酶 (GGPPS)、胰岛素受体底物-1 (IRS-1) 蛋白表达水平,ELISA 检测 2 组大鼠白色脂肪组织及大脑前额叶皮质中肿瘤坏死因子- α (TNF- α)、白细胞介素 (IL)-1 β 、IL-6 水平。结果 给药前 2 组大鼠体质量比较差异无统计学意义 ($P > 0.05$);给药后第 1~8 周,2 组大鼠体质量均呈稳定上升,但 2 组大鼠体质量比较差异无统计学意义 ($P > 0.05$)。给药前及给药后 1~2 周,2 组大鼠 FBG 比较差异无统计学意义 ($P > 0.05$);给药后 3~8 周,奥氮平组大鼠 FBG 高于对照组 ($P < 0.05$);给药后第 2、4、6、8 周,奥氮平组大鼠胰岛素水平、HOMA-IR 高于对照组 ($P < 0.05$)。奥氮平组和对照组大鼠 OGTT 曲线下面积分别为 932.4 ± 51.5 和 762.8 ± 90.7 ,奥氮平组大鼠 OGTT 曲线下面积大于对照组 ($P < 0.05$);奥氮平组大鼠白色脂肪组织中 Egr-1、GGPPS、IRS-1 蛋白相对表达量高于对照组 ($P < 0.05$)。奥氮平组大鼠白色脂肪组织中 TNF- α 、IL-1 β 和 IL-6 水平高于对照组 ($P < 0.05$)。2 组大鼠大脑前额叶皮质中 TNF- α 、IL-1 β 和 IL-6 水平比较差异无统计学意义 ($P > 0.05$)。结论 奥氮平可诱导雄性 SD 大鼠产生胰岛素抵抗,且胰岛素抵抗的形成可能与白色脂肪组织中 Egr-1、GGPPS、IRS-1 和炎性因子水平显著增高有关。

关键词: 奥氮平;胰岛素抵抗;早期生长反应因子-1;香叶基香叶基二磷酸合成酶;胰岛素受体底物-1

中图分类号: R749 **文献标志码:** A **文章编号:** 1004-7239(2019)12-1105-05

Mechanism of olanzapine-induced insulin resistance in male rats

LYU Yi-fan¹, LIU Shou-qing¹, ZHANG Qian-qian¹, PENG Shi-yong¹, YANG Ni², LI Shi-hong², LI Wei-yong²

(1. Institute of Psychiatry and Neuroscience, Xinxiang Medical University, Xinxiang 453000, Henan Province, China; 2. Department of Pharmacy, Union Hospital, Tongji Medical College, Huazhong University of Science and Technology, Wuhan 430022, Hubei Province, China)

Abstract: **Objective** To investigate the mechanism of olanzapine-induced insulin resistance in male Sprague Dawley (SD) rats. **Methods** Twenty male SD rats were randomly divided into control group and olanzapine group, with 10 rats in each group. Rats in the olanzapine group were given $1.5 \text{ mg} \cdot \text{kg}^{-1}$ olanzapine daily by gavage, and the rats in the control group were given the same amount of physiological saline for 8 weeks continuously. The fasting blood glucose (FBG) levels of rats in the two groups were measured before and at 1~8 weeks after administration, and their body mass was recorded. Venous blood was taken from the tail of rats at 2, 4, 6 and 8 weeks after administration, and the plasma insulin levels were detected by enzyme-linked immunosorbent assay, and homeostasis model assessment-insulin resistance index (HOMA-IR) was calculated. Oral glucose tolerance test (OGTT) was performed at 8 weeks after administration. White adipose tissue and prefrontal cortex of rats were taken at 8 weeks after administration. The expressions of early growth response factor-1 (Egr-1), geranylgeranyl diphosphate synthase (GGPPS), insulin receptor substrate-1 (IRS-1) protein in the white adipose tissue of rats in the control group and the olanzapine group were determined by Western blot. The levels of tumor necrosis factor- α (TNF- α), interleukin (IL)-1 β and IL-6 in the prefrontal cortex of the brain and white adipose tissue of rats in the two groups were examined by enzyme-linked immunosorbent assay. **Results** There was no significant difference in body mass between the two groups before administration ($P > 0.05$). After 1~8 weeks of administration, the body mass of rats in the two groups increased steadily, but there was no significant difference between the two groups ($P > 0.05$). There was no significant difference in the FBG level

DOI:10.7683/xxxyxb.2019.12.002

收稿日期:2019-03-20

基金项目:国家自然科学基金资助项目(编号:81573509)。

作者简介:吕一帆(1994-),女,河南新乡人,硕士,住院医师,研究方向:抗精神病药物产生不良反应的具体机制。

通信作者:彭世勇(1968-),男,湖北武汉人,博士,教授,研究方向:神经生物学;E-mail:penshy@hotmail.com。

between the two groups before and at 1–2 weeks after administration ($P > 0.05$). At 3–8 weeks after administration, the FBG level in the olanzapine group was higher than that in the control group ($P < 0.05$). At 2, 4, 6 and 8 weeks after administration, the insulin levels and HOMA-IR in the olanzapine group were higher than those in the control group ($P < 0.05$). The area under curve of OGTT of rats in the olanzapine group and the control group was 932.4 ± 51.5 and 762.8 ± 90.7 , respectively; and the area under curve of OGTT of rats in the olanzapine group was larger than that in the control group ($P < 0.05$). The relative expressions of Egr-1, GGPPS and IRS-1 in the white adipose tissue of rats in the olanzapine group were higher than those in the control group ($P < 0.05$). The levels of TNF- α , IL-1 β and IL-6 in the white adipose tissue in the olanzapine group were higher than those in the control group ($P < 0.05$). There was no significant difference in the levels of TNF- α , IL-1 β and IL-6 in the prefrontal cortex of brain between the two groups ($P > 0.05$). **Conclusion** Olanzapine can induce insulin resistance in male SD rats, and the formation of insulin resistance may be related to the significant increase of Egr-1, GGPPS, IRS-1 and inflammatory factors in white adipose tissue.

Key words: olanzapine; insulin resistance; early growth response 1; geranylgeranyl diphosphate synthase; insulin receptor substrate-1

精神分裂症是一组涉及情感和行为等多方面异常的精神疾病,严重影响患者生活。奥氮平治疗精神分裂症疗效肯定,且对阴性症状与阳性症状均有效^[1-2],但与其他抗精神病药物相比,其更易引起血糖升高及胰岛素抵抗(insulin resistance, IR)等不良反应^[3]。奥氮平引起代谢紊乱的机制目前尚未探究清楚。前期研究表明,奥氮平长期给药可以诱导雌性 Sprague Dawley(SD)大鼠产生 IR^[4],本研究在此基础上,进一步探讨奥氮平诱导雄性 SD 大鼠产生 IR 的可行性及其可能机制。

1 材料与方法

1.1 动物、试剂与仪器 8周龄无特定病原体级雄性 SD 大鼠 20 只购自湖北省疾控中心,动物实验使用许可证号:SYXK(鄂)2010-0057;奥氮平购自美国 Sigma 公司,早期生长反应因子-1 (early growth response-1, Egr-1)、胰岛素受体底物-1 (insulin receptor substrate-1, IRS-1)、甘油醛-3-磷酸脱氢酶(glyceraldehyde-3-phosphate dehydrogenase, GAPDH) 抗体购自武汉爱博泰克生物科技有限公司,香叶基香叶基二磷酸合成酶(geranylgeranyl diphosphate synthase, GGPPS)抗体购自英国 Abcam 公司,胰岛素、肿瘤坏死因子- α (tumor necrosis factor- α , TNF- α)、白细胞介素(interleukin, IL)-6、IL-1 β 酶联免疫吸附测定(enzyme-linked immunosorbent assay, ELISA) 试剂盒购自武汉伊莱瑞特科技有限公司,二喹啉甲酸(diquinoline formic acid, BCA) 蛋白质浓度测定试剂盒购自北京碧云天科技有限公司;血糖仪及血糖试纸购自瑞士罗氏诊断产品有限公司,超纯水仪购自美国 Millipore 公司,冷冻离心机购自赛默飞世尔科技(中国)有限公司,天能发光成像仪购自上海天能科技有限公司。

1.2 动物分组与处理 将 20 只 SD 大鼠随机分为对照组和奥氮平组,每组 10 只。奥氮平组大鼠每日给予奥氮平 $1.5 \text{ mg} \cdot \text{kg}^{-1}$ 灌胃,对照组大鼠给予等量无菌生理盐水灌胃,连续 8 周。奥氮平的给药剂量根据临幊上多巴胺受体占用率^[7]确定。奥氮平组大鼠胰岛素抵抗指数(homeostasis model assess-

ment-insulin resistance index, HOMA-IR) 与对照组比较差异有统计学意义表明诱导 IR 成功。

1.3 空腹血糖(fasting blood glucose, FBG)、体质量及 HOMA-IR 检测 2 组大鼠于给药第 1~8 周,禁食 12 h 后采集尾静脉血,用血糖仪测 FBG 水平,每周测血糖前称大鼠体质量。在第 2, 4, 6, 8 周采集尾静脉血时,收集约 0.5 mL 血液置于添加肝素的 EP 管中,离心后收集血浆,ELISA 法检测血浆胰岛素水平,并计算 HOMA-IR 评估大鼠的胰岛素敏感性; $\text{HOMA-IR} = \text{FBG} (\text{mmol} \cdot \text{L}^{-1}) \times \text{空腹胰岛素水平} (\mu\text{g} \cdot \text{L}^{-1}) / 22.5$ 。

1.4 口服糖耐量实验(oral glucose tolerance test, OGTT) 实验第 8 周,2 组大鼠禁食 12 h 取尾静脉血测 FBG 后,给予 $500 \text{ g} \cdot \text{L}^{-1}$ 葡萄糖溶液 $2 \text{ g} \cdot \text{kg}^{-1}$ 灌胃,灌胃后 15、30、60、90、120 min 经尾静脉采血测血糖,作时间-血糖曲线,使用 GraphPad 计算曲线下面积;曲线下面积代表糖耐量水平,面积越大,表示糖耐量水平越低。

1.5 Western blot 法检测 2 组大鼠白色脂肪组织中 Egr-1、GGPPS 和 IRS-1 蛋白的表达 于给药第 8 周大鼠禁食 12 h 后,采集眼眶后静脉丛血样,置于含肝素的 EP 管中;大鼠麻醉后分离腹膜后白色脂肪组织及大脑前额叶皮质于 -80°C 下保存备用。取 50 mg 大鼠白色脂肪组织在冰上用放射免疫沉淀测定裂解液裂解,加入 100 \times 的蛋白酶抑制剂,根据 BCA 试剂盒的步骤测蛋白浓度;每孔加入 30 μg 总蛋白,电泳电压 80 V,电泳至分离胶后将电压改为 120 V;采用电流 300 mA, 90 min 转膜;质量分数 5% 脱脂奶粉封闭 2 h;一抗抗体按说明书进行配比,一抗 4°C 孵育过夜;洗膜缓冲液洗膜 3 次,每次 10 min;二抗室温孵育 1 h;洗膜缓冲液洗膜 3 次,每次 10 min;曝光仪曝光;采用 Image J 软件分析大鼠脂肪组织中 Egr-1、GGPPS 和 IRS-1 蛋白表达水平,以磷酸甘油醛脱氢酶(reduced glyceraldehyde-phosphate dehydrogenase, GAPDH) 为内参计算各蛋白的相对表达量。

1.6 ELISA 法检测 2 组大鼠白色脂肪组织和大脑前额叶皮质中 TNF- α 、IL-1 β 及 IL-6 水平 取“1.5

项”中的大鼠白色脂肪组织和大脑前额叶皮质,采用ELISA法检测大鼠白色脂肪组织及大脑前额叶皮质中TNF- α 、IL-1 β 、IL-6的表达水平;操作严格按照试剂盒说明书进行。

1.7 统计学处理 应用SPSS19.0统计软件包进行数据分析。计量资料以均数±标准差($\bar{x} \pm s$)表示,2组间比较采用独立样本t检验; $P < 0.05$ 为差异有统计学意义。

2 结果

2.1 2组大鼠体质量、FBG、胰岛素、HOMA-IR及OGTT比较

结果见表1~3。给药前及给药后1~8周大鼠体质量见表1。

表1 2组大鼠体质量比较

Tab.1 Comparison of body weight of rats between the two groups

($\bar{x} \pm s$)

组别	n	体质量/g							
		给药前	第1周	第2周	第3周	第4周	第5周	第6周	第7周
对照组	10	333.7 ± 14.8	366.2 ± 17.4	394.8 ± 17.0	426.1 ± 13.4	440.5 ± 14.2	454.3 ± 12.1	470.7 ± 14.6	492.9 ± 18.3
奥氮平组	10	335.1 ± 8.5	369.3 ± 12.9	398.6 ± 17.1	430.1 ± 20.1	445.2 ± 22.4	455.6 ± 26.6	473.4 ± 20.9	495.3 ± 27.9

表2 2组大鼠FBG比较

Tab.2 Comparison of FBG of rats between the two groups

($\bar{x} \pm s$)

组别	n	FBG/(mmol·L ⁻¹)							
		给药前	第1周	第2周	第3周	第4周	第5周	第6周	第7周
对照组	10	5.2 ± 0.9	5.0 ± 0.6	5.1 ± 0.7	4.5 ± 0.3	4.1 ± 0.3	4.4 ± 0.8	4.7 ± 0.6	4.7 ± 0.3
奥氮平组	10	5.4 ± 0.6	5.3 ± 0.3	5.6 ± 0.5	5.6 ± 0.6 ^a	5.5 ± 0.6 ^a	5.5 ± 0.7 ^a	5.4 ± 0.8 ^a	5.2 ± 0.6 ^a

注:与对照组比较^a $P < 0.05$ 。

表3 2组大鼠胰岛素水平及HOMA-IR比较

Tab.3 Comparison of insulin level and HOMA-IR between the two groups

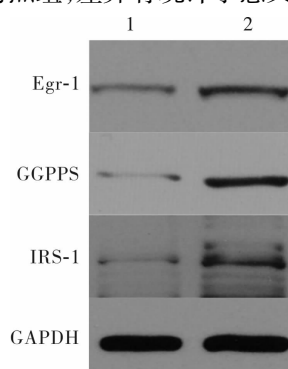
($\bar{x} \pm s$)

组别	n	胰岛素/(μg·L ⁻¹)				HOMA-IR			
		第2周	第4周	第6周	第8周	第2周	第4周	第6周	第8周
对照组	10	16.2 ± 3.8	16.6 ± 3.5	17.9 ± 3.0	16.3 ± 4.8	3.7 ± 0.9	3.0 ± 0.5	3.8 ± 0.9	3.4 ± 1.0
奥氮平组	10	31.1 ± 4.3 ^a	28.5 ± 4.0 ^a	33.6 ± 4.2 ^a	27.2 ± 6.3 ^a	7.7 ± 1.4 ^a	6.9 ± 1.1 ^a	8.1 ± 1.4 ^a	6.5 ± 1.8 ^a

注:与对照组比较^a $P < 0.05$ 。

2.2 2组大鼠白色脂肪组织中Egr-1、GGPPS、IRS-1蛋白表达水平比较

结果见图1和表4。奥氮平组大鼠白色脂肪组织中Egr-1、GGPPS、IRS-1蛋白相对表达量高于对照组,差异有统计学意义($P < 0.05$)。



1:对照组;2:奥氮平组。

图1 2组大鼠白色脂肪组织中Egr-1、GGPPS、IRS-1蛋白表达(Western blot)

Fig.1 Expression of Egr-1, GGPPS, IRS-1 protein in white adipose tissue in the two groups(Western blot)

8周,2组大鼠体质量均呈稳定上升,但2组大鼠体质量比较差异无统计学意义($P > 0.05$)。给药前及给药后1~2周,2组大鼠FBG比较差异无统计学意义($P > 0.05$);给药后3~8周,奥氮平组大鼠FBG高于对照组,差异有统计学意义($P < 0.05$)。给药后第2、4、6、8周,奥氮平组大鼠胰岛素水平、HOMA-IR高于对照组,差异有统计学意义($P < 0.05$)。OGTT实验结果表明,奥氮平组和对照组大鼠OGTT曲线下面积分别为932.4 ± 51.5和762.8 ± 90.7,奥氮平组大鼠OGTT曲线下面积大于对照组,差异有统计学差异($P < 0.05$)。

表4 2组大鼠白色脂肪组织中Egr-1、GGPPS及IRS-1蛋白表达水平比较

Tab.4 Comparison of expression of Egr-1, GGPPS and IRS-1 protein in white adipose tissue between the two groups

($\bar{x} \pm s$)

组别	n	Egr-1	GGPPS	IRS-1
对照组	10	0.18 ± 0.03	0.11 ± 0.02	0.11 ± 0.01
奥氮平组	10	0.43 ± 0.01 ^a	0.39 ± 0.10 ^a	0.31 ± 0.02 ^a

注:与对照组比较^a $P < 0.05$ 。

2.3 2组大鼠白色脂肪组织和大脑前额叶皮质中TNF- α 、IL-1 β 和IL-6表达水平比较 结果见表5。奥氮平组大鼠白色脂肪组织中TNF- α 、IL-1 β 和IL-6水平高于对照组,差异有统计学意义($P < 0.05$)。2组大鼠大脑前额叶皮质中TNF- α 、IL-1 β 和IL-6水平比较差异均无统计学意义($P > 0.05$)。

表 5 2 组大鼠白色脂肪组织和大脑前额叶皮质中 TNF- α 、IL-1 β 和 IL-6 表达水平比较Tab. 5 Comparison of TNF- α , IL-1 β and IL-6 levels in white adipose tissue and the prefrontal cortex of rats between the two groups ($\bar{x} \pm s$)

组别	n	白色脂肪组织			大脑前额叶皮质		
		TNF- α /(ng·L $^{-1}$)	IL-1 β /(ng·L $^{-1}$)	IL-6/(ng·L $^{-1}$)	TNF- α /(ng·L $^{-1}$)	IL-1 β /(ng·L $^{-1}$)	IL-6/(ng·L $^{-1}$)
对照组	10	0.029 ± 0.003	0.034 ± 0.005	0.025 ± 0.003	0.022 ± 0.008	0.017 ± 0.008	0.016 ± 0.004
奥氮平组	10	0.047 ± 0.007 ^a	0.058 ± 0.001 ^a	0.034 ± 0.006 ^a	0.027 ± 0.012	0.025 ± 0.011	0.021 ± 0.008

注:与对照组比较^aP < 0.05。

3 讨论

抗精神病药物奥氮平在治疗精神分裂症中伴发的 IR 及相关问题,已经严重影响了精神疾病的治疗,导致复发率和病死率增加,也降低了患者对治疗药物的依从性^[4],IR 被认为是奥氮平引起代谢紊乱的主要原因,探明奥氮平引起 IR 的机制有助于进一步预防药物不良反应。

奥氮平治疗精神分裂症时,患者较易发生体质量升高及 IR 等代谢方面的不良反应,IR 具有显著的性别差异,且女性较男性更易发生肥胖^[5],HOMA-IR 是评估糖代谢紊乱的关键指标^[6]。前期研究结果表明,奥氮平可诱导雌性 SD 大鼠产生 IR,且 IR 大鼠体质量较对照组明显上升^[7],但目前关于奥氮平诱导雄性大鼠产生 IR 的研究尚无报道。本研究结果显示,奥氮平给药后未引起雄性大鼠体质量明显上升,与常麦会^[8]、ALBAUGH 等^[9]研究结果相同。本研究还发现,奥氮平长期给药可引起雄性 SD 大鼠发生明显的糖耐量受损,可诱导雄性大鼠 IR 的产生。

本研究成功诱导雄性 SD 大鼠产生 IR,检测了其白色脂肪组织中 IR 通路相关蛋白 Egr-1、GGPPS、IRS-1 蛋白表达水平,结果显示,Egr-1、GGPPS、IRS-1 的表达水平均高于对照组,提示在雄性大鼠 IR 模型中 Egr-1/GGPPS/IRS-1 通路被显著激活,奥氮平引起的 IR 可能与 Egr-1/GGPPS/IRS-1 通路密切相关。

IR 是一种慢性炎症状态,多项研究表明,IR 与炎性因子密切相关^[10-11],且在 2 型糖尿病患者中 HOMA-IR 与炎性因子呈线性相关^[12],表明炎症是产生 IR 的重要因素^[13-14]。Egr-1 是一种锌指蛋白转录因子,对多种炎性因子有调控作用^[15]。有研究表明,Egr-1 可以促使 GGPPS 转录增加,使 Ras 蛋白异戊烯化并导致细胞外调节蛋白激酶 1/2 激活,进一步导致 IRS-1 在丝氨酸 612 处的磷酸化位点激活^[16],IRS-1 的丝氨酸磷酸化水平升高,抑制了其与胰岛素受体近膜区域的结合,进一步减少了葡萄糖摄取,也抑制了胰岛素信号通路的传导^[17]。这可能是奥氮平导致 IR 的重要原因。Egr-1 可使胰岛素信

号传导受损并减少葡萄糖摄取^[16],在 IR 中起着重要作用。实验室前期研究表明,在雌性 SD 大鼠中,奥氮平引起 IR 与白色脂肪组织的慢性炎症有密切关系^[7],而 Egr-1 又对多种炎性因子有调控作用^[15],推测 Egr-1 可能是奥氮平导致 IR 的重要原因。Egr-1 可介导胰岛素敏感性并促进脂肪组织炎性细胞因子的释放^[15,18]。本研究结果表明,奥氮平组大鼠白色脂肪组织中 Egr-1、TNF- α 、IL-1 β 和 IL-6 水平均明显上升,提示奥氮平诱导的 IR 可能与 Egr-1 介导的炎性因子释放增多有关。但对照组和奥氮平组大鼠大脑前额叶皮质中 TNF- α 、IL-1 β 和 IL-6 水平比较差异无统计学意义,表明奥氮平对外周组织和大脑前额叶皮质的作用是不同的,这也可能是奥氮平在外周引起 IR,而在中枢神经系统起到治疗作用的原因。

本研究采用奥氮平长期给药的方法成功诱导了雄性 SD 大鼠产生 IR,并探究了 Egr-1 在奥氮平引起 IR 的信号通路中的作用,以及奥氮平给药后外周组织和中枢组织中炎性因子的变化情况,结果表明,奥氮平诱导的 IR 可能是通过 Egr-1 影响了胰岛素信号通路的传导与炎性因子的释放,进一步导致外周组织产生 IR。降低 Egr-1 蛋白水平可能是解决奥氮平引起 IR 的一种方法,这为以后减少奥氮平的不良反应提供了新思路。

参考文献:

- MCEVOY J P, LIEBERMAN J A, STROUP T S, et al. Effectiveness of clozapine versus olanzapine, quetiapine, and risperidone in patients with chronic schizophrenia who did not respond to prior atypical antipsychotic treatment [J]. Am J Psychiatry, 2006, 163 (4): 600-610.
- STROUP T S, LIEBERMAN J A, MCEVOY J P, et al. Effectiveness of olanzapine, quetiapine, risperidone, and ziprasidone in patients with chronic schizophrenia following discontinuation of a previous atypical antipsychotic [J]. Am J Psychiatry, 2006, 163 (4): 611-622.
- LEUCHT S, CIPRIANI A, SPINELI L, et al. Comparative efficacy and tolerability of 15 antipsychotic drugs in schizophrenia: a multiple-treatments meta-analysis [J]. Lancet, 2013, 382 (9896): 951-962.
- TSCHONER A, ENGL J, LAIMER M, et al. Metabolic side effects of

- antipsychotic medication [J]. *Int J Clin Pract*, 2010, 61 (8) : 1356-1370.
- [5] 徐丹怡,沈建国.性别与胰岛素抵抗[J].国际内分泌代谢杂志,2007,27(1) : 13-15.
- [6] TANG Q, LI X, SONG P, et al. Optimal cut-off values for the homeostasis model assessment of insulin resistance (HOMA-IR) and pre-diabetes screening: developments in research and prospects for the future[J]. *Drug Discov Ther*, 2016, 9 (6) : 380.
- [7] LI H, PENG S, LI S, et al. Chronic olanzapine administration causes metabolic syndrome through inflammatory cytokines in rodent models of insulin resistance [J]. *Sci Rep*, 2019, 9 (1) : 1582.
- [8] 常麦会.氯、奥氮平对大鼠骨骼肌 GLUT4 基因表达的影响[D]. 长沙: 中南大学, 2011.
- [9] ALBAUGH V L, HENRY C R, BELLO N T, et al. Hormonal and metabolic effects of olanzapine and clozapine related to body weight in rodents[J]. *Obesity*, 2012, 14 (1) : 36-51.
- [10] 王翟.高脂饲料喂养大鼠诱导的脂代谢紊乱对糖代谢及炎症因子的影响[J]. 卫生研究, 2008, 37 (2) : 190-193.
- [11] 孙保恩,邢渊.炎症因子与代谢综合征[J].实用糖尿病杂志, 2015, 11 (3) : 61-63.
- [12] 陈思娇,都镇先,张海燕,等.2型糖尿病患者血清抵抗素水平与血糖和炎症因子的关系[J].中华内分泌代谢杂志, 2006,
- 22 (2) : 151-153.
- [13] 邹大进,李慧.肥胖、炎症与胰岛素抵抗[J].国际内分泌代谢杂志, 2004, 24 (4) : 2-5.
- [14] 李焱.炎症与胰岛素抵抗[J].中国实用内科杂志, 2005, 13 (11) : 81-82.
- [15] 张魁.早期生长反应因子1促进炎症加重静脉桥血管再狭窄相关机制的实验研究[C].第八届北京五洲国际心血管病会议论文集, 2014; 629-630.
- [16] SHEN N, YU X, PAN F Y, et al. An early response transcription factor, Egr-1, enhances insulin resistance in type 2 diabetes with chronic hyperinsulinism [J]. *J Biol Chem*, 2011, 286 (16) : 14508-14515.
- [17] PAZ K, HEMI R, LEROITH D, et al. A molecular basis for insulin resistance. Elevated serine/threonine phosphorylation of IRS-1 and IRS-2 inhibits their binding to the juxtamembrane region of the insulin receptor and impairs their ability to undergo insulin-induced tyrosine phosphorylation [J]. *J Biol Chem*, 1997, 272 (47) : 29911-29918.
- [18] YU X, SHEN N, ZHANG M L, et al. Egr-1 decreases adipocyte insulin sensitivity by tilting PI3K/Akt and MAPK signal balance in mice[J]. *EMBO J*, 2014, 30 (18) : 3754-3765.

(本文编辑:杨博 英文编辑:杨博)

《中华实用儿科临床杂志》2020年征订启事

《中华实用儿科临床杂志》(原《实用儿科临床杂志》)是由中国科学技术协会主管、中华医学会主办、新乡医学院承办的中华医学系列杂志,是以儿科临床与基础研究为主要报道内容的儿科学类核心期刊。本刊为中国科学引文数据库(CSCD)来源期刊,儿科学类核心期刊,中国科技论文统计源期刊(中国科技核心期刊),RCCSE 中国核心学术期刊,中国精品科技期刊,中国科学技术协会精品科技期刊,被中国生物医学文献数据库(CBMdisc)、Quick 全文资料管理系统(FTME)、中文科技期刊数据库、万方数据、《中国学术期刊文摘》、美国《化学文摘》、俄罗斯《文摘杂志》、波兰《哥白尼文摘》、WHO 西太平洋地区医学索引(WPRIM)、美国《乌利希斯期刊指南》等国内外数十家权威数据库收录。本刊以贯彻党和国家的卫生工作方针、政策,贯彻理论与实践、普及与提高相结合的方针,反映国内外儿科医疗、科研等方面的新理论、新技术、新成果、新进展,促进学术交流为办刊宗旨。辟有述评、专家论坛、论著、小儿神经基础与临床、中西医结合、实验研究、儿童保健、药物与临床、综述、小儿外科、病例报告、临床应用研究、标准·方案·指南·指南解读等栏目。以各级医院儿科医务工作者,各高等医学院校、科研院所儿科教研人员,各级图书馆(室)、科技情报研究院(所)研究人员等为读者对象。欢迎广大儿科医务工作者和医学科教人员踊跃投稿。本刊为半月刊,A4 开本,80 页,无光铜版纸印刷,每月 5 日、20 日出版。CN 10-1070/R,ISSN 2095-428X,CODEN SELZBJ,Dewey #:618.92。国内外公开发行,国内邮发代号:36-102,国外邮发代号:SM 1763。可通过全国各地邮局订阅,也可与本刊编辑部直接联系订阅邮购。国内定价:12.00 元/期,288.00 元/年;国外定价:12.00 美元/期,288.00 美元/年。

欲浏览本刊或有投稿意向,请登录本刊网站(<http://www.zhsyeklczz.com>)注册,网站提供全文免费阅读。联系地址:453003 河南省新乡市金穗大道 601 号新乡医学院《中华实用儿科临床杂志》编辑部。联系电话:0373-3029144,0373-3831456;传真:0373-3029144;电子信箱:zhsyeklczz@163.com;syqk@chinajournal.net.cn。请登录中华医学会杂志社远程稿件管理系统(<http://cmase.medline.org.cn>)投稿。